

関西電力(株)総合技術研究所 正員 阿部哲郎
 関西電力(株)総合技術研究所 竹澤義裕
 (株)総合技術コンサルタント 正員 西森秀三

1.はじめに 地下式貯槽の耐震検討を行う際、S波による地動の応答を考慮した「変位入力による方法」が提案されている。

ここでは、この手法を表面波の場合に適用した例を報告するものである。

2.モデル 地盤モデルとして図1に示すように表層を覆にする2種類の2D地盤を考える。タンクモデルとして図2に示す4万Kt円筒型RC製貯槽を考え、側壁と底板との結合状態として剛・ビンの2種類を考える。

3.表面波の分散性と変位モード レーレー波とラブ波の分散曲線の基本モードを図3に示す。レーレー波に関しては、J.LysmerのFEMを用いる方法にて解析した。基本式を式(1)に示す。

$$IB(k) - \omega^2 E = 0 \quad (1)$$

ここに、B: 実対称行列、E: 単位行列、k: 液数、 ω : 円振動数
 ラブ波に関しては式(2)の運動方程式を2D地盤に適用して求めた。

$$\nabla^2 w_i = \frac{1}{C_i^2} \cdot \frac{\partial^2 w_i}{\partial t^2} \quad (2)$$

ここに w_i : i 方の変位、 C_i : せん断波速度、
 t : 時間。

分散性を考慮するため、タンク径(D)の約1倍、6倍の2ケースの波長(L)を考える。

これらの波長に対する変位モードをレーレー波については図4に、ラブ波については図5に示す。図6はレーレー波のCASE120のL/D=6について深所に至るモードを画いたものであり、これは半無限地盤のレーレー波のモードに近く、表層の影響が現われない場合があることを示している。

4.入力地盤変位量と地盤バネ 表面波による地表近くの地盤ひずみ量は $2 \sim 4 \times 10^{-4}$ との報告例があり、ここでは 10^{-3} とした。すなわち、図7を参照してレーレー波では E_{xx} の、ラブ波では γ_{xx} の最大が 10^{-3} となる変位振幅を定めた(表1)。地表面における波動の進行方向モードとして、タン

CASE120	CASE70
$V_s = 120 \text{ m/s}$	70 m/s
$v = 0.49$	0.49
$\gamma = 1.61 \text{ } \text{l/m}^3$	$1.61 \text{ } \text{l/m}^3$
$V_s = 300 \text{ m/s}$	300 m/s
$v = 0.49$	0.49
$\gamma = 1.72 \text{ } \text{l/m}^3$	$1.72 \text{ } \text{l/m}^3$

図1 地盤モデル

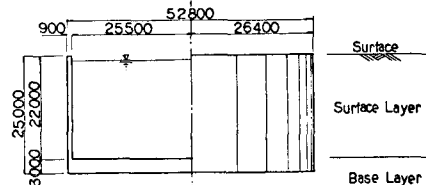


図2 タンク地盤モデル

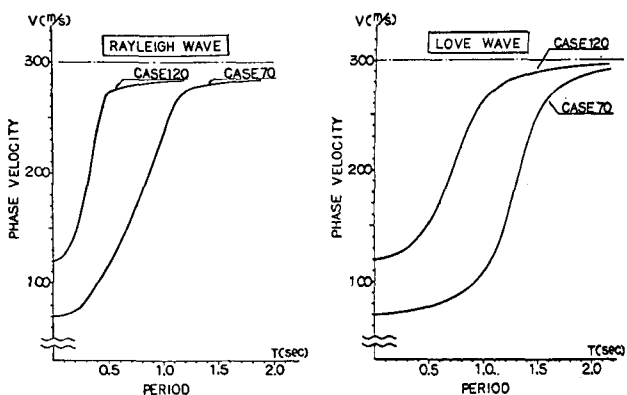


図3 分散曲線

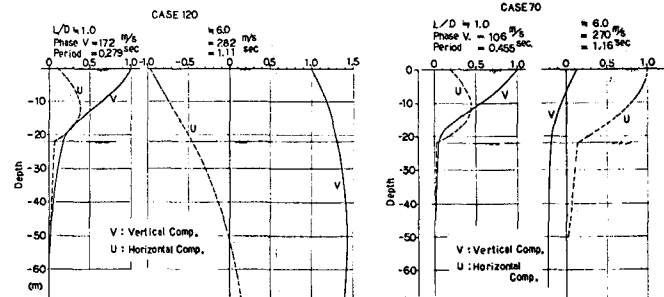


図4 レーレー波のモード

ク中央を原点に採り、水平動はSin型とし、レーレー波の上下動は、水平動に対し位相が 90° ずれるため、Cos型とし。

地盤バネは、国鉄耐震設計指針(案)S56にて求めた。側壁に対する地盤バネとして、半径方向の水平反力係数から定め、接線方向と上下方向とは半径方向バネの $\frac{1}{2}$ とした(表2)。

表1 水平変位振幅

波	L/D	
	6	1
1/2 レーレー	24.8	0.57
1/2 ラブ	5.0	0.76
1/2 レーレー	24.8	0.82
1/2 ラブ	5.0	0.76

(単位 mm)

表2 地盤反力係数

地盤種別	せん断波速度(m/s)		
	300	120	70
鉛直反力係数 (K_V)	3.04	—	—
水平 “ (K_H)	—	1.18	0.40
せん断 “ (K_S)	0.87	—	—

(単位 kg/cm^3)

5. 結果とまとめ 側壁に発生した絶対値最大断面力を図8に示す。これらの図から、次のように傾向が認められる。

- (1) 波長の長い地動で、大きな軸力とせん断力とが生じる。(ただし、せん断力については、波長の短かいレーレー波でも大きい)。
- (2) 側壁と底板との結合状態の差はレーレー波では少なく、ラブ波で大きい。ラブ波の場合ピン結合で応答が小さい。
- (3) 円周方向断面力と高さ方向断面力とでは、前者が約2倍の応答を示す。
- (4) 地盤剛性の差は、同一いすみの反応のもとで、堅い地盤の方が大き応答を示す。

6. あとがき 表面波の影響を「変位入力による方法」で求めることの妥当性については、さらに詳細なデータや動的解析との対比が必要である。

参考文献

- 1) 地下構造物設計技術指針(案), S55 土木学会
- 2) J.Lysmer: Lumped Mass Method for Rayleigh Waves, *BSSA*, Vol.60, No.1, Feb 1970
- 3) K.Toki : Proc.U.S.-Japan Seminar on Life Line System 1976
- 4) 神山真 : 地震時にみる地盤内の応力. ひずみの評価 土木学会論文報告集, 250号, 1976

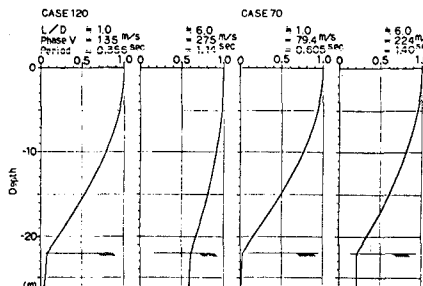


図5 ラブ波のモード

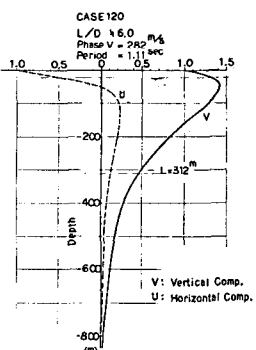


図6 レーレー波のモード

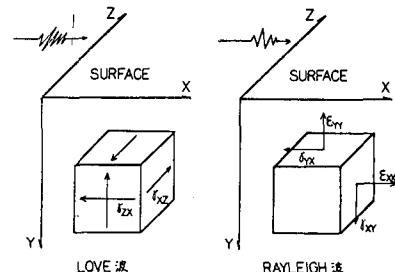
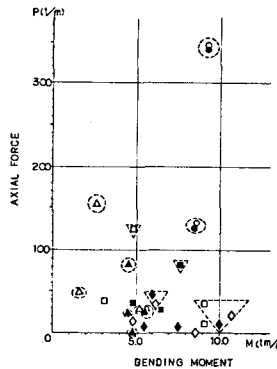
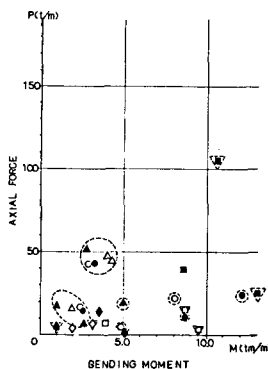


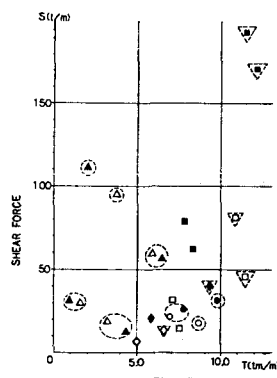
図7 表面波による土要素のひずみ



(a) 円周方向断面力



(b) 高さ方向断面力



(c) せん断力とねじり

記号 説明表

Wave	L/D = 6	L/D = 1
	Rigid	Love
Rayleigh	●	▲
	○	△
Love	■	◆
	□	◇

	CASE120	CASE70
Rayleigh Wave	○	○
Love Wave	▽	etc

図8 最大応答断面力